

日本道路公団 正員 ○室井智文
長崎大学工学部 正員 高橋和雄

1 緒言 従来の吊橋の変形や応力解析にあたっては、補剛桁の変形は鉛直、水平およびねじれ変形がそれぞれ独立に生ずるものとする解析方法が行なわれてきた。しかし吊橋のケーブルが空間曲線をなすことや補剛桁自身が最初からキャンパーによる曲率を持つこと、左右のケーブルの変位差などのために各変形は独立に起こることには不可能である。また、吊橋の補剛桁は一般に長大スパンで、中空断面のトラスやボックスなどの薄肉断面で構成され、かつケーブルが変形しやすい構造物であることを考慮すると、その応力解析には有限変形理論の適用や断面剛の仮定の検討などが必要である。この種の問題に関して最近本四連絡橋上部構造研究委員会の活動をはじめとしていくつかの研究が見受けられる。達成を考慮した吊橋の基礎方程式は幾何学的考察より力の釣合式から誘導されていくために達成を含む項などに各論文の間に相違が見受けられたり、有限変形や断面変形を考慮する場合には困難が伴う。そこで本研究は変分原理を用いて最小ボテンシャルエネルギーの原理より達成を考慮した吊橋の基礎方程式の誘導を試みたものである。周知のように本法の特徴は材料力学の基本的な仮定のみを用い、後は数学的演算のみで基礎方程式を誘導することができるため、複雑な構造系への適用が可能である。本論文では、その第一報として吊橋のキャンパーによる曲率を考慮した基礎方程式を微小変形理論の範囲で導いた結果を報告するとともに、計算例として3分力を考えた風荷重を受けた吊橋の曲げの問題に適用したものである。

2 吊橋における基本的仮定

- (1) ケーブルは完全に可観である。
- (2) ケーブル及び補剛桁の単位長さあたりの死荷重および断面性能は各径間ごとに一定である。
- (3) 塔の伸縮および曲げは生じない。
- (4) ケーブルおよび補剛桁の死荷重はケーブルのみによって支えられる。補剛桁は完全に無応力である。
- (5) 吊材は非常に網密に配置されているものとし、ケーブルと補剛桁は連続的に吊材で連結されている。
- (6) 吊材は直線で、載荷によるひずみを無視する。
- (7) 補剛桁の断面はトラス、ボックス、プレートガーターのいずれでもよい。
- (8) 補剛桁およびケーブルの軸方向変位を無視する。
- (9) ケーブルおよび補剛桁の変形は微小で Hooke の法則が成り立つ。
- (10) 断面剛の仮定が成り立つ。

3 ひずみ 図-2に示すような座標系を取り、 ζ 軸を絶対座標の子軸の方向に定める。断面剛の仮定より、はり内の任意点の変位関数が次のように定義される。

$$U = u(\zeta) - \eta \theta_1(\zeta) \quad (1)$$

$$V = v(\zeta) + (\zeta - e) \theta_2(\zeta) \quad (2)$$

$$W = -\xi u'(\zeta) - \eta v'(\zeta) + \frac{1}{2} \{ w_{\alpha}(\zeta, \xi) + e \} \quad (3)$$

ここに、 U, V, W ：はりの重心 G を原点としたときのはりの任意点の変位、 u, v ：せん断中心の横たわみ、 θ_1 ：せん断中心のまわりの回転角、 η ：ねじれ率、 w_{α} ：規準化された St. Venant のゆがみ関数、 e ：重心とせん断中心の間の距離、 $'$ は ζ に関する微分を示す。

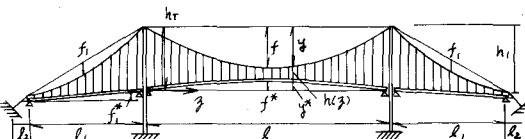


図-1 吊橋一般図

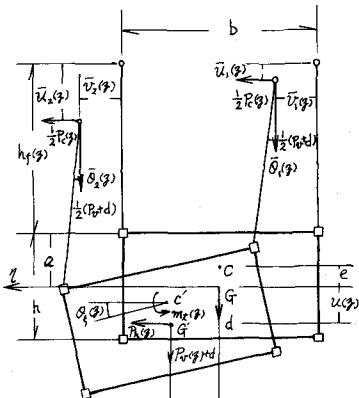


図-2 吊橋断面図

式(1)~(3)を用いてテンソル解析により、キャンパーによる曲率 K_1 をもつ吊橋の補剛筋のひずみが決定される。

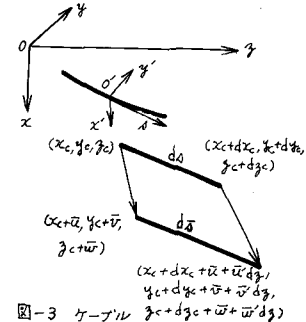
$$E_1 = E_2 = \delta_{11} = 0, \quad E_3 = K_1 u + 2(-v' + K_1 \theta_3) - \delta u'' + \theta_3'' g \\ \delta_{33} = -2(\theta_3 + K_1 v') + (\frac{\partial u}{\partial z} + K_1 \varphi) \theta_3', \quad \delta_{13} = \delta(\theta_3 + K_1 v') + (\frac{\partial u}{\partial z} - e) \theta_3'$$

次にケーブルのひずみを軸ひずみのみ生ずるものと仮定して、初期にわみを持つ場合について説明する。図-3に示すように初期状態におけるケーブルの任意点 o' の座標を (x_c, y_c, z_c) 、微小距離だけ離れた点を $(x_c + dx, y_c + dy, z_c + dz)$ とする。変形後の座標はそれぞれ $(x_c + \bar{u}, y_c + \bar{v}, z_c + \bar{w})$, $(x_c + dx + \bar{u} + \bar{u}'d\bar{z}), (y_c + dy + \bar{v} + \bar{v}'d\bar{z}), (z_c + dz + \bar{w} + \bar{w}'d\bar{z})$ で表わされから、ひずみは次式で定義されよう。 $\epsilon_0 = (dx - d\bar{z})/dx$ (4) ここに、 $dx = (1 + \bar{u}^2 + \bar{v}^2)^{1/2} d\bar{z}$
 $d\bar{z} = [1 + 2\bar{u}' + \bar{w}'^2 + 2\bar{u}'\bar{v}' + \bar{u}'^2 + 2\bar{v}'\bar{w}' + \bar{v}'^2]^{1/2} dz$ 。 $'$ は $\frac{d}{dz}$ と示す。

式(4)をTaylor展開のうえ、ケーブルの橋脚方向変位 \bar{u} を無視して、ケーブルが x 方向に初期にわみを持つこと考慮して、変位の2次のオーダまで採れば、 $\epsilon_0 = (x_c \bar{u}' + \bar{u}'^2 + \frac{1}{2}\bar{v}'^2)/(1 + \bar{u}'^2)$ (5)

4 吊橋全体のポテンシャルエネルギー 吊橋の補剛筋、ケーブル、吊材の各要素の変形によるエネルギーを求めろ。補剛筋のひずみエネルギーは Hookeの法則を用いて次式で表わされる。

$$V_E = \frac{1}{2} \int \int \{ E_E \delta + G(r_{13} + r_{23}) \} ds dz dz$$



ケーブルは初期にわみと附加わみを持つことから、ケーブルひずみのひずみエネルギーは式(4)を用いて、

$$V_{k1} = \int \int E_k \delta dz dz + \frac{1}{2} \int \int E_k dz dz dz = H_{k1} \int \int (x_c \bar{u}' + \frac{1}{2}\bar{v}'^2 + \frac{1}{2}\bar{w}'^2) dz + H_{k2} \int \int (x_c \bar{u}' + \frac{1}{2}\bar{u}'^2 + \frac{1}{2}\bar{v}'^2) dz$$

ここに、 $H_{k1} = \bar{G}_1 A_c$, $A_c = \int \int dz dz$, $H_{k2} = \bar{G}_2 A_c$, H_{k1} :ケーブル一本あたりの死荷重張力, H_{k2} :ケーブルの活荷重張力
吊材は伸びないと仮定したが、図-2に示すように、吊材の伝播する力の水平成分がケーブルと補剛筋の間に生ずる相対変位だけ仕事をなすことになる。この仕事はケーブルおよび補剛筋から見れば外力であろうが、吊橋全体から見れば内力に相当すると考えられる。図-2において吊材の力の水平成分は次式によって与えられる。

$P_c = \frac{P_0 + d}{2} \tan \theta_3 = \frac{P_0 + d}{2} \theta_3$ (6) ここに、 P_0 :補剛筋の鉛直方向荷重強度, d :ケーブルおよび補剛筋の死荷重
上式における θ_3 はケーブルおよび補剛筋の各変形の間の適合条件を満足しなければならない。

$h_f \theta_3 = v - \bar{v}_c + (a - e) \theta_3$ (7) ここに、 h_f :ハンガーの長さ, a :補剛筋の上弦材から重心までの距離
式(6)および式(7)を用いて、吊材のなす仕事は次のようく表わされる。

$$V_h = \frac{1}{2} \int \int [r_1 \{ v - \bar{v}_c + (a - e) \theta_3 \} + r_2 \{ v - \bar{v}_c + (a - e) \theta_3 \}] dz$$

また、図-2に示すような吊橋の断面およびケーブルに作用する外力の仕事は次のように与えられる。

$$W = \int \int (P_0 + d) u + P_h v + (m_s + P_h e) \theta_3 + \frac{1}{2} (h_f + \bar{v}_c) dz$$

以上の式(6),(7),(8)および(9)から吊橋全体の変形によるポテンシャルエネルギーは次のようにえられる。

$$\Pi = V_{k1} + V_{k2} + V_h + V_b + W$$

5 基礎方程式 吊橋の基礎方程式をうるために、最小ポテンシャルエネルギーの原理を適用する。すなわち、 $\delta\Pi = 0$ である。変分原理を用いて式(9)を变形すると、

$$\delta\Pi = [(H_{k1} + H_{k2})(x_c' + \bar{u}') \delta \bar{u}']^t + [(H_{k1} + H_{k2})(x_c' + \bar{u}') \delta \bar{v}']^t + [(H_{k1} + H_{k2})(x_c' + \bar{u}') \delta \bar{w}']^t - [M_1 \delta u']^t + [M_1' \delta v']^t + [M_1' \delta w']^t + [M_2 \delta u']^t + [M_2' \delta v']^t + [M_2' \delta w']^t + [E I_{11} \delta \theta_3']^t + [M_3 - e Q_2 - E I_{11} \theta_3']^t + G(J - I_p) K_1 v' + G I_{11} K_1 \theta_3']^t \delta \theta_3' - \int \int \{ (M_1 + K_1 Q_2 + (2H_{k1} + H_{k2})(x_c' + \bar{v}') + (H_{k1} - H_{k2})(x_c' + \bar{w}')) \frac{1}{2} \delta \theta_3' + (H_{k1} - H_{k2})(x_c' + \bar{v}') - (a - e) \frac{P_0 + d}{2} (v - \bar{v}_c) + m_s - P_h e \} \delta \theta_3' + [M_1' + K_1 M_3 - e Q_2 - E I_{11} \theta_3']^t + G(J - I_p) K_1 v' + G I_{11} K_1 \theta_3' + (2H_{k1} + H_{k2} + H_p) \frac{1}{2} \delta \theta_3' + \frac{1}{2} (H_{k1} - H_{k2})(x_c' + \bar{v}') - (a - e) \frac{P_0 + d}{2} (v - \bar{v}_c) + m_s - P_h e \} \delta \theta_3' + [M_2' + K_2 M_3 - e Q_2 - E I_{11} \theta_3']^t + G(J - I_p) K_1 v' + G I_{11} K_1 \theta_3' + (2H_{k2} + H_p) \frac{1}{2} \delta \theta_3' + \frac{1}{2} (H_{k1} - H_{k2})(x_c' + \bar{v}') - (a - e) \frac{P_0 + d}{2} (v - \bar{v}_c) + m_s - P_h e \} \delta \theta_3' = 0$$

をうる。上式において断面力 Q_1, Q_2, M_1, M_2 および M_3 は次のようく定義される。

$$Q_1 = \int \int Q_1 \delta dz dz = -E G_1 A_c \theta_3', \quad Q_2 = \int \int Q_2 \delta dz dz = -E A_k u, \quad M_1 = \int \int Q_1 \delta dz dz = E I_{11} (-v' + K_1 \theta_3), \quad M_2 = \int \int Q_2 \delta dz dz = -E I_{11} u'',$$

$$M_3 = \int \int (Q_1 \delta - Q_2 \delta) dz dz = G J \theta_3' + G I_{11} K_1 v'$$

$$\text{ここに, } A_c = \int \int A_c \delta dz dz, \quad I_1 = \int \int \delta^2 dz dz, \quad I_2 = \int \int v'^2 dz dz, \quad J = \int \int (\frac{1}{2} \frac{\partial v}{\partial z} - \frac{1}{2} \frac{\partial w}{\partial z} + \frac{1}{2} v' + \frac{1}{2} w') \delta^2 dz dz$$

$$I_w' = I_w - e^2 I_f, \quad I_p = I_w + I_f, \quad b: \text{補剛行の幅}$$

式(10)非積分項がすべて零であることから境界条件式がえられ、また、積分項の $\delta u, \delta v, \delta \theta_3$ のおおよび θ_3 の任意性から基礎方程式が求められる。これより次のようならちつの基礎方程式が誘導される。

$$EI_{f'} u'' + EA_o (K_i)^3 u - (2H_w + H_p + H_p) \lambda^2 \frac{1}{2} (H_p - H_p) \theta_3'' = P_v - (H_p + H_p) \frac{\theta_3'}{e^2} \quad (11)$$

$$EI_{f'} \theta_3'' - (GJ + EI_{f'} K_i)^3 - e^2 G A_o + \frac{1}{2} (2H_w + H_p + H_p) \frac{1}{2} \theta_3'' + EI_{f'} (K_i)^3 \theta_3 - (GJ + EI_{f'}) K_i u'' + \frac{1}{2} (H_p - H_p) u'' + (a - e) \frac{P_v + d}{2} (S_i + Q_i) \quad (12)$$

$$EI_{f'} v'' - G J_{f'} (K_i)^3 v'' - (GJ + EI_{f'}) K_i \theta_3'' + \frac{P_v + d}{2} (Q_i + S_i) = P_h \quad (13)$$

$$(H_w + H_p) \bar{v}_i'' + \frac{P_v + d}{2} \theta_3 = -\frac{R_2}{2} \quad (14) \quad (H_w + H_p) \bar{v}_i'' + \frac{P_v + d}{2} \theta_3 = -\frac{R_2}{2} \quad (15)$$

式(14)～(15)の他に適合条件式として、式(10)の2式が加わる。活荷重張力 σ を決定するためのケーブル方程式がケーブルの傾斜角が載荷後も一定で、また、ケーブルの定着点が不動であることから次のように表わされる。

$$H_{pi} = \frac{E A_i}{L} [S_i / z_i + T_i / L] \quad (16)$$

$$\text{ここに}, \quad L = \int_c^c \sec \frac{1}{2} \theta_i dz, \quad L_i = \int_c^c \sec \frac{1}{2} \theta_i dz, \quad \theta_i: \text{ケーブルの傾斜角}, \quad A_i: \text{横断面積}, \quad T: \text{温度変化}$$

以上のようにしてえらねに基礎方程式は $K_i = 0$ とおけば、文献(6)の結果と実質的に合致するものである。

6. 数値計算例 誘導した基礎方程式を用いて、図-1に示す3径間単純吊橋(開門大橋)を対象に3分力を考慮した風荷重を受ける場合の吊橋の静的挙動を解析する。なお、風荷重はその大きさが変形とともに変化する非保存系であるため厳密には保存系として誘導した基礎方程式は適用できないが、第1近似値として有効であるものと考えられる。簡単のために左右のケーブルの水平変位が等しい($v_l = v_r = v$)とおけば、左右の吊材の傾斜角は等しい($\theta_l = \theta_r = \theta$)とおくことができる。また断面の重心とせん断中心は合致するものとする。

吊橋の補剛行断面の空力特性によつて図-4に示すような二次元模型による

風洞実験から抗力、揚力および空力モーメントの3分力の特性曲線がえられる。これより補剛行のねじれ角が α 、風の迎角が β の場合の抗力、揚力および空力モーメントの係数は次のように表わされる。

$$C_D = C_0 + \left(\frac{dC_0}{d\alpha}\right)_0 \alpha, \quad C_L = C_L + \left(\frac{dC_L}{d\alpha}\right)_0 \alpha, \quad C_M = C_M + \left(\frac{dC_M}{d\alpha}\right)_0 \alpha \quad (17)$$

したがつて、3分力は次のように表わされる。

$$D = D_0 + D_0^* \alpha, \quad L = L_0 + L_0^* \alpha, \quad M = M_0 + M_0^* \alpha \quad (18)$$

$$\text{ここに}, \quad D_0 = \frac{1}{2} PV^2 A_D C_D, \quad D_0^* = \frac{1}{2} PV^2 A_D \left(\frac{dC_D}{d\alpha}\right)_0 \alpha, \quad L_0 = \frac{1}{2} PV^2 A_L C_L, \quad L_0^* = \frac{1}{2} PV^2 A_L \left(\frac{dC_L}{d\alpha}\right)_0 \alpha$$

$$M_0 = \frac{1}{2} PV^2 A_M C_M, \quad M_0^* = \frac{1}{2} PV^2 A_M \left(\frac{dC_M}{d\alpha}\right)_0 \alpha, \quad P: \text{空気の密度}, \quad V: \text{風速} (\text{m/sec})$$

A_D : 補剛行の有効鉛直投影面積, A_L : 補剛行の水平投影面積

また、ケーブルに作用する風荷重は次式で表わされる。 $V_c = \frac{1}{2} PV^2 A_{pc}$ \rightarrow ここに, A_{pc} : ケーブルの水平投影面積

吊橋のケーブルの形はサブがく、なる放物線、中央径間のキャンバーが放物線、側径間のそれは直線とすれば、中央径間および側径間の吊材の長さは次のようにえられる。

$$h(z) = h_a + \frac{4f_z^2}{L^2} z^2 - \frac{4f_z^2}{L} (1 - \frac{h_a}{4f_z} + \frac{f_z^2}{4L}) z, \quad (\text{中央径間}) \quad (19)$$

吊橋の塔が変形しないものとすれば、補剛行およびケーブルの境界条件は次のように表わされる。

$$u(0) = u(l) = 0, \quad u'(0) = u'(l) = 0, \quad \theta_3(0) = \theta_3(l) = 0, \quad v(0) = v(l) = 0, \quad v'(0) = v'(l) = 0, \quad \partial_3(0) = \partial_3(l) = 0 \quad (20)$$

上式の境界条件を満足する各変位を次のようにFourier級数に仮定する。

$$u(z) = \sum_{n=1}^{\infty} a_n \sin n \pi z/L, \quad \theta_3(z) = \sum_{n=1}^{\infty} b_n \sin n \pi z/L, \quad v(z) = \sum_{n=1}^{\infty} c_n \sin n \pi z/L, \quad \partial_3(z) = \sum_{n=1}^{\infty} d_n \sin n \pi z/L \quad (21)$$

上式を基礎方程式に代入して、Galerkin法を適用すれば、未定定数 a_n ～ d_n を求めるための連立方程式をうろが、中央径間のみについて示せば次のとおりである。

$$EI_{f'} \left(\frac{\partial u}{\partial z}\right)^2 + EA_o K_i^2 + (2H_w + H_p + H_p) \left(\frac{\partial u}{\partial z}\right)^2 \{a_n + \left[-\frac{1}{2}(H_p - H_p) K_i^2\right] z + \frac{1}{2} L z\} b_n = -\frac{R_2}{L} z + (H_p + H_p) \frac{\partial u}{\partial z} \quad (22)$$

$$+\frac{1}{2}(H_p - H_p) \left(\frac{\partial u}{\partial z}\right)^2 \{a_n + \{GJ + GJ_{f'} K_i^2 + \frac{1}{2}(2H_w + H_p + H_p)\} \frac{n \pi}{L} z + EI_{f'} K_i^2 - M_0^*\} b_n + (GJ + EI_{f'}) K_i \left(\frac{\partial u}{\partial z}\right)^2 c_n - a_n L x d_n$$

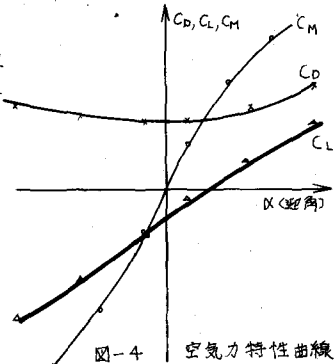


図-4 空気力特性曲線

$$\begin{aligned}
 &= f M_x + \frac{b}{2} (H_{P1} - H_{P2}) \frac{8f^3}{\pi^2} \int \frac{d}{m^2} \\
 &\{(GJ + EI_f) K_1 (\frac{m}{L})^2 - b^2 \} b_m + \{EI_f (\frac{m}{L})^2 + G I_T k_1^2 (\frac{m}{L})^2\} c_m - L_x e_m = \frac{4}{m^2} D_x \\
 &\{-(2H_w + H_{P1} + H_{P2}) (\frac{m}{L})^2\} d_m - L_x e_m = -\frac{4}{m^2} D_x \\
 &a b_m + c_m - d_m - \{k - z(f + f^2)(\frac{1}{2} + \frac{1}{m^2})\} e_m = \frac{32 f^2 (1+f^2)}{\pi^2} \sum_{m=1}^{\infty} \frac{m n}{(m^2 - n^2)^2} e_m
 \end{aligned}$$

また、ケーブル方程式は式(20)から次のように表わされる。

$$\begin{aligned}
 H_{P1} &= \frac{E A k}{L_x} \left[\frac{16f}{\pi^2} \sum_{m=1}^{\infty} \left\{ \frac{1}{m} (a_m - \frac{b}{2} b_m) \right\} + \frac{32 f^2}{\pi^2} \sum_{m=1}^{\infty} \left\{ \frac{1}{m} (a_m - b_m) \right\} - \alpha_{T0} T_L \right] \\
 H_{P2} &= \frac{E A k}{L_x} \left[\frac{16f}{\pi^2} \sum_{m=1}^{\infty} \left\{ \frac{1}{m} (a_m + \frac{b}{2} b_m) \right\} + \frac{32 f^2}{\pi^2} \sum_{m=1}^{\infty} \left\{ \frac{1}{m} (a_m + b_m) \right\} - \alpha_{T0} T_L \right]
 \end{aligned}$$

ここに、suffix- は側径間に関するものである。

式(20)および(21)を同時に満足するように未定定数 $a_m \sim e_m$ を決定しなければならないが、式(20)に含まれる荷重張力 H_{P1}, H_{P2} が式(21)に示す補剛筋の変形によって定まるために、演算は適当な荷重の初期値のもとに式(20)を解き、えられた結果から式(21)の H_{P1}, H_{P2} の値を計算し、これらが合致する値を本題の解とする方法によった。なお、式(20)の係数項には未知数 a_m, b_m の項が数多く含まれ、かつ荷重が変形に依存するため、計算値は初期値の大きさにきわめて敏感で、収束値をうるのに多大な労力を要した。 $n=1,3,5$ の 3 項近似の場合の中央径間の補剛筋の鉛直ねじりおよび水平変位を示せば、表-1 のとおりである。

表-1 中央径間の鉛直ねじり、水平変位

	誘導式(キャンバー考慮)		誘導式(キャンバー無視)		文献(3)			
	$H_{P1} = -118$ (t)	$H_{P2} = -22$ (t)	$H_{P1} = -182$	$H_{P2} = -174$	$H_{P1} = -182$	$H_{P2} = -174$		
Z/L	鉛直(m)	ねじれ	水平(軸)	水平(ケーブル)	鉛直	ねじれ	水平(軸)	水平(ケーブル)
0.0	0.0	0.0×10^3	0.0	0.0	0.0×10^3	0.0	0.0	0.0×10^3
0.1	-0.027	-0.035	1.336	1.120	-0.028	0.019	1.348	1.130
0.2	-0.049	-0.088	2.502	2.143	-0.051	0.020	2.525	2.164
0.3	-0.063	-0.152	3.382	3.021	-0.067	0.003	3.414	3.051
0.4	-0.071	-0.202	3.921	3.665	-0.077	-0.019	3.958	3.701
0.5	-0.074	-0.221	4.102	3.910	-0.080	-0.028	4.141	3.949

表-1 のように風荷重が作用する場合には抗力による補剛筋およびケーブルの水平変位 δ_x が卓越することがわかる。誘導した基礎方程式のキャンバーによる曲線を無視して結果は表-1 に付記するところ文献(3)の基礎方程式による結果とはほぼ完全に合致することがわかる。キャンバーによる曲率の存在は補剛筋のねじれに影響を及ぼすことがわかる。表-2 に最大断面力を示すが、キャンバーの影響は環境リモーメントに現われているといえる。

本法における問題点、非連成法との比較および計算例に用いた吊橋のたわみや応力分布については講演時に別途資料を配布する予定である。最後に、本研究は筆者の一人が長崎大学在学中に担当した卒論の一節であるが、本研究を行なうにあたり、吊橋の基礎方程式を力の釣合条件式から誘導し、貴重な吊橋のデータをまとめられた日本道路公团閑門架橋工事事務所古道氏、基礎方程式の誘導に際して適確な御助言を頂いた長崎大学築地助教授、吊橋の換算運動について御教示賜いた大阪大学小松教授、東京大学官田助教授ならびに本四公田林氏ならびに困難な数値解析を担当された卒論生中沖氏(現在神戸製鋼所構造研究所)に記して深く感謝する次第である。

参考文献 1) 平井敦也; 鋼橋(1), 技報堂, 昭和42年, 2) 土木学会本州四国連絡橋上部構造研究小委員会解析分科会; 本州四国連絡橋上部構造に関する調査研究報告書 別刷6 吊橋のねじり解析, 昭和48年3月,
3) 日本道路公团閑門建設所閑門架橋工事事務所; 風荷重を受ける吊橋の変形と応力, 昭和45年6月, や倉西越後; 吊橋の側方への変形について, 土木学会第29回年次学術講演会講演概要集第1部, PP383~384, 昭和45年10月,
5) K.Washizu; Some Considerations on a Naturally Curved and Twisted Slender Beam, J. Math. Phys., Vol. 43, No. 3, PP111~116,

6) 望月谷他; 板構造, 建築構造学3, 鹿島出版会, PP219~241, 昭和44年8月

	M_s (tm)	M_b (tm)	T (tm)	Q_s (t)	Q_b (t)
$K_1 = 0$	-111	51622	280	± 1.01	± 378

表-2 最大断面力